

# Mnogočestična lokalizacija u bazi mnogočestičnih Andersonovih lokaliziranih stanja

Juraj Krsnik

PMF, Fizički odsjek, Zagreb, Republika Hrvatska

Mentor: dr. sc. Osor Slaven Barišić

Institut za fiziku, Zagreb, Republika Hrvatska

Samostalni seminar iz istraživanja u fizici, 24. siječnja 2018.

- Andersonova lokalizacija
- Mnogočestična lokalizacija
- Aproksimacija reducirane baze
  - Baza mnogočestičnih Andersonovih lokaliziranih stanja
  - Struktura interakcije  $\hat{H}_I$ ; razdvajanje nabojnih i spinskih stupnjeva slobode
  - Konstrukcija reducirane baze
- Korelacijska funkcija gustoće
- Rezultati
- Zaključak

# Andersonova lokalizacija

Promatramo Andersonov model hamiltonijana:

$$\hat{H}_A = -t \sum_i \left( c_{i+1,s}^\dagger c_{i,s} + \text{h.c.} \right) + \sum_i h_i c_i^\dagger c_i, \quad -W < h_i < W. \quad (1)$$

Prvi član predstavlja preskoke fermiona na susjedna čvorišta u aproksimaciji čvrste veze, odnosno kinetičku energiju sistema. Drugi član modelira nerđ u sustavu te svojstva sustava očito ovise o omjeru parametara  $W/t$ .

# Andersonova lokalizacija

Promatramo Andersonov model hamiltonijana:

$$\hat{H}_A = -t \sum_i \left( c_{i+1,s}^\dagger c_{i,s} + \text{h.c.} \right) + \sum_i h_i c_i^\dagger c_i, \quad -W < h_i < W. \quad (1)$$

Prvi član predstavlja preskoke fermiona na susjedna čvorišta u aproksimaciji čvrste veze, odnosno kinetičku energiju sistema. Drugi član modelira nerđ u sustavu te svojstva sustava očito ovise o omjeru parametara  $W/t$ .

- $W/t \ll 1$  : prevladava kinetički član  $\rightarrow$  metalno ponašanje, valne funkcije delokalizirane.

# Andersonova lokalizacija

Promatramo Andersonov model hamiltonijana:

$$\hat{H}_A = -t \sum_i \left( c_{i+1,s}^\dagger c_{i,s} + \text{h.c.} \right) + \sum_i h_i c_i^\dagger c_i, \quad -W < h_i < W. \quad (1)$$

Prvi član predstavlja preskoke fermiona na susjedna čvorišta u aproksimaciji čvrste veze, odnosno kinetičku energiju sistema. Drugi član modelira nered u sustavu te svojstva sustava očito ovise o omjeru parametara  $W/t$ .

- $W/t \ll 1$  : prevladava kinetički član  $\rightarrow$  metalno ponašanje, valne funkcije delokalizirane.
- $W/t \gg 1$  : prevladava nered  $\rightarrow$  izolatorsko ponašanje, lokalizirane valne funkcije.

# Andersonova lokalizacija

Promatramo Andersonov model hamiltonijana:

$$\hat{H}_A = -t \sum_i \left( c_{i+1,s}^\dagger c_{i,s} + \text{h.c.} \right) + \sum_i h_i c_i^\dagger c_i, \quad -W < h_i < W. \quad (1)$$

Prvi član predstavlja preskoke fermiona na susjedna čvorišta u aproksimaciji čvrste veze, odnosno kinetičku energiju sistema. Drugi član modelira nered u sustavu te svojstva sustava očito ovise o omjeru parametara  $W/t$ .

- $W/t \ll 1$  : prevladava kinetički član  $\rightarrow$  metalno ponašanje, valne funkcije delokalizirane.
- $W/t \gg 1$  : prevladava nered  $\rightarrow$  izolatorsko ponašanje, lokalizirane valne funkcije.

$\implies$  Na kritičnoj vrijednosti omjera  $(W/t)_c$  dolazi do metal-izolator prijelaza?

# Andersonova lokalizacija

Stvarno ponašanje puno je složenije i ovisno o dimenziji sustava.

# Andersonova lokalizacija

Stvarno ponašanje puno je složenije i ovisno o dimenziji sustava.

- $D = 1$ : sva jednočestična stanja lokalizirana i za najmanju vrijednost nereda, lokalizacijska dužina određena omjerom  $W/t$ .

# Andersonova lokalizacija

Stvarno ponašanje puno je složenije i ovisno o dimenziji sustava.

- $D = 1$ : sva jednočestična stanja lokalizirana i za najmanju vrijednost nereda, lokalizacijska dužina određena omjerom  $W/t$ .
- $D = 2$ : donja kritična dimenzija za pojavu Andersonove lokalizacije, stanja lokalizirana s velikom lokalizacijskom dužinom.

# Andersonova lokalizacija

Stvarno ponašanje puno je složenije i ovisno o dimenziji sustava.

- $D = 1$ : sva jednočestična stanja lokalizirana i za najmanju vrijednost nereda, lokalizacijska dužina određena omjerom  $W/t$ .
- $D = 2$ : donja kritična dimenzija za pojavu Andersonove lokalizacije, stanja lokalizirana s velikom lokalizacijskom dužinom.
- $D = 3$ : pojava praga mobilnosti u spektru jednočestinih stanja koji razdvaja rubna, lokalizirana stanja, od delokaliziranih stanja na sredini spektra. Položaj praga mobilnosti određen omjerom  $W/t$ .

# Andersonova lokalizacija

Stvarno ponašanje puno je složenije i ovisno o dimenziji sustava.

- $D = 1$ : sva jednočestična stanja lokalizirana i za najmanju vrijednost nereda, lokalizacijska dužina određena omjerom  $W/t$ .
- $D = 2$ : donja kritična dimenzija za pojavu Andersonove lokalizacije, stanja lokalizirana s velikom lokalizacijskom dužinom.
- $D = 3$ : pojava praga mobilnosti u spektru jednočestinih stanja koji razdvaja rubna, lokalizirana stanja, od delokaliziranih stanja na sredini spektra. Položaj praga mobilnosti određen omjerom  $W/t$ .

Što se događa nakon uključivanja interakcije (korelacija) među fermionima?

# Andersonova lokalizacija

Stvarno ponašanje puno je složenije i ovisno o dimenziji sustava.

- $D = 1$ : sva jednočestična stanja lokalizirana i za najmanju vrijednost nereda, lokalizacijska dužina određena omjerom  $W/t$ .
- $D = 2$ : donja kritična dimenzija za pojavu Andersonove lokalizacije, stanja lokalizirana s velikom lokalizacijskom dužinom.
- $D = 3$ : pojava praga mobilnosti u spektru jednočestinih stanja koji razdvaja rubna, lokalizirana stanja, od delokaliziranih stanja na sredini spektra. Položaj praga mobilnosti određen omjerom  $W/t$ .

Što se događa nakon uključivanja interakcije (korelacija) među fermionima?

Najveći efekt lokalizacije očekujemo u sustavima reducirane dimenzije pa u nastavku radimo s 1D sustavima.

# Mnogočestična lokalizacija

Proširujemo Andersonov model uključivanjem Hubbardove interakcije:

$$\hat{H} = \hat{H}_A + \hat{H}_I = -t \sum_i \left( c_{i+1,s}^\dagger c_{i,s} + \text{h.c.} \right) + \sum_i h_i c_i^\dagger c_i + U \sum_i \hat{n}_{i\uparrow} \hat{n}_{i\downarrow}. \quad (2)$$

# Mnogočestična lokalizacija

Proširujemo Andersonov model uključivanjem Hubbardove interakcije:

$$\hat{H} = \hat{H}_A + \hat{H}_I = -t \sum_i \left( c_{i+1,s}^\dagger c_{i,s} + \text{h.c.} \right) + \sum_i h_i c_i^\dagger c_i + U \sum_i \hat{n}_{i\uparrow} \hat{n}_{i\downarrow}. \quad (2)$$

Hamiltonian (2) modelira spinski neovisan nered u naboju  $\Rightarrow$  razlika u ponašanju nabojnih i spinskih stupnjeva slobode?

# Mnogočestična lokalizacija

Proširujemo Andersonov model uključivanjem Hubbardove interakcije:

$$\hat{H} = \hat{H}_A + \hat{H}_I = -t \sum_i \left( c_{i+1,s}^\dagger c_{i,s} + \text{h.c.} \right) + \sum_i h_i c_i^\dagger c_i + U \sum_i \hat{n}_{i\uparrow} \hat{n}_{i\downarrow}. \quad (2)$$

Hamiltonian (2) modelira spinski neovisan nered u naboju  $\Rightarrow$  razlika u ponašanju nabojsnih i spinskih stupnjeva slobode?

Numeričke simulacije na sustavu s  $L = 16$  čvorova rešetke doista ukazuju na različito ponašanje naboja i spina.

# Mnogočestična lokalizacija

Proširujemo Andersonov model uključivanjem Hubbardove interakcije:

$$\hat{H} = \hat{H}_A + \hat{H}_I = -t \sum_i \left( c_{i+1,s}^\dagger c_{i,s} + \text{h.c.} \right) + \sum_i h_i c_i^\dagger c_i + U \sum_i \hat{n}_{i\uparrow} \hat{n}_{i\downarrow}. \quad (2)$$

Hamiltonian (2) modelira spinski neovisan nered u naboju  $\Rightarrow$  razlika u ponašanju nabojnih i spinskih stupnjeva slobode?

Numeričke simulacije na sustavu s  $L = 16$  čvorova rešetke doista ukazuju na različito ponašanje naboja i spina.

- $W < W_c$ : korelacijske funkcije gustoće naboja i spina iščezavaju na dugim vremenskim skalama.

# Mnogočestična lokalizacija

Proširujemo Andersonov model uključivanjem Hubbardove interakcije:

$$\hat{H} = \hat{H}_A + \hat{H}_I = -t \sum_i \left( c_{i+1,s}^\dagger c_{i,s} + \text{h.c.} \right) + \sum_i h_i c_i^\dagger c_i + U \sum_i \hat{n}_{i\uparrow} \hat{n}_{i\downarrow}. \quad (2)$$

Hamiltonian (2) modelira spinski neovisan nered u naboju  $\Rightarrow$  razlika u ponašanju nabojnih i spinskih stupnjeva slobode?

Numeričke simulacije na sustavu s  $L = 16$  čvorova rešetke doista ukazuju na različito ponašanje naboja i spina.

- $W < W_c$ : korelacijske funkcije gustoće naboja i spina iščezavaju na dugim vremenskim skalama.
- $W > W_c$ : spinske korelacije trnu u vremenu znatno brže od nabojnih, te se čini kako one nabojne ostaju sačuvane čak i na vrlo dugim vremenskim skalama.

# Mnogočestična lokalizacija

Proširujemo Andersonov model uključivanjem Hubbardove interakcije:

$$\hat{H} = \hat{H}_A + \hat{H}_I = -t \sum_i \left( c_{i+1,s}^\dagger c_{i,s} + \text{h.c.} \right) + \sum_i h_i c_i^\dagger c_i + U \sum_i \hat{n}_{i\uparrow} \hat{n}_{i\downarrow}. \quad (2)$$

Hamiltonian (2) modelira spinski neovisan nered u naboju  $\Rightarrow$  razlika u ponašanju nabojnih i spinskih stupnjeva slobode?

Numeričke simulacije na sustavu s  $L = 16$  čvorova rešetke doista ukazuju na različito ponašanje naboja i spina.

- $W < W_c$ : korelacijske funkcije gustoće naboja i spina iščezavaju na dugim vremenskim skalama.
- $W > W_c$ : spinske korelacije trnu u vremenu znatno brže od nabojnih, te se čini kako one nabojne ostaju sačuvane čak i na vrlo dugim vremenskim skalama.

$\implies$  Izgleda da dolazi do lokalizacije naboja za  $W > W_c$ !

# Mnogočestična lokalizacija

Uvođenjem spinski ovisnih nabojnih nečistoća u hamiltonijan (2) za dovoljno jaki nered ( $W > W_{cr}$ ) dolazi do lokalizacije i u spiskom sektoru  
⇒ potpuna mnogočestična lokalizacija!

# Mnogočestična lokalizacija

Uvođenjem spinski ovisnih nabojnih nečistoća u hamiltonijan (2) za dovoljno jaki nered ( $W > W_{cr}$ ) dolazi do lokalizacije i u spiskom sektoru  
⇒ potpuna mnogočestična lokalizacija!

Potpuna lokalizacija rezultira odsustvom transporta naboja i spina, odnosno energije ⇒ sustav se ne može termalizirati suprotno ergotskoj hipotezi?

# Mnogočestična lokalizacija

Uvođenjem spinski ovisnih nabojnih nečistoća u hamiltonijan (2) za dovoljno jaki nered ( $W > W_{cr}$ ) dolazi do lokalizacije i u spiskom sektoru  
⇒ potpuna mnogočestična lokalizacija!

Potpuna lokalizacija rezultira odsustvom transporta naboja i spina, odnosno energije ⇒ sustav se ne može termalizirati suprotno ergotskoj hipotezi?

Koja je narav prijelaza iz ergodične u neergodičnu, lokaliziranu fazu?

# Mnogočestična lokalizacija

Uvođenjem spinski ovisnih nabojnih nečistoća u hamiltonijan (2) za dovoljno jaki nered ( $W > W_{cr}$ ) dolazi do lokalizacije i u spiskom sektoru  
⇒ potpuna mnogočestična lokalizacija!

Potpuna lokalizacija rezultira odsustvom transporta naboja i spina, odnosno energije ⇒ sustav se ne može termalizirati suprotno ergotskoj hipotezi?

Koja je narav prijelaza iz ergodične u neergodičnu, lokaliziranu fazu?

Da li je djelomična lokalizacija, npr. u naboju, dovoljna zapreka termalizaciji sustava?

# Aproksimacija reducirane baze

Spora dinamika lokaliziranih sustava  $\Rightarrow$  potrebno gledati relaksaciju sustava na dugim vremenskim skalamama  $\Rightarrow$  važnost učinaka rubnih uvjeta zbog konačnosti sustava.

# Aproksimacija reducirane baze

Spora dinamika lokaliziranih sustava  $\Rightarrow$  potrebno gledati relaksaciju sustava na dugim vremenskim skalamama  $\Rightarrow$  važnost učinaka rubnih uvjeta zbog konačnosti sustava.

S druge strane, broj mnogočestičnih stanja eksponencijalno brzo raste s dimenzijom sustava  $L \Rightarrow$  numerički simulirati možemo samo male sustave.

# Aproksimacija reducirane baze

Spora dinamika lokaliziranih sustava  $\Rightarrow$  potrebno gledati relaksaciju sustava na dugim vremenskim skalamama  $\Rightarrow$  važnost učinaka rubnih uvjeta zbog konačnosti sustava.

S druge strane, broj mnogočestičnih stanja eksponencijalno brzo raste s dimenzijom sustava  $L \Rightarrow$  numerički simulirati možemo samo male sustave.

$\implies$  Problem skaliranja rezultata na termodinamičku granicu  $L \rightarrow \infty$ !

# Aproksimacija reducirane baze

Spora dinamika lokaliziranih sustava  $\Rightarrow$  potrebno gledati relaksaciju sustava na dugim vremenskim skalamama  $\Rightarrow$  važnost učinaka rubnih uvjeta zbog konačnosti sustava.

S druge strane, broj mnogočestičnih stanja eksponencijalno brzo raste s dimenzijom sustava  $L \Rightarrow$  numerički simulirati možemo samo male sustave.

$\implies$  Problem skaliranja rezultata na termodinamičku granicu  $L \rightarrow \infty$ !

Izdvojimo na prikidan način samo stanja relevantna za dinamiku sustava na dugim vremenima  $\rightarrow$  aproksimacija reducirane baze!

# Baza mnogočestičnih Andersonovih lokaliziranih stanja

Hamiltonian (2) razdvajamo na Andersonov dio  $\hat{H}_A$  kojeg možemo egzaktno dijagonalizirati

$$\hat{H}_A = \sum_{I,s} \epsilon_I \varphi_{I,s}^\dagger \varphi_{I,s}, \quad (3)$$

gdje indeks  $I$  označava jednočestično Andersonovo lokalizirano stanje, te interakciju  $\hat{H}_I$  promatramo kao smetnju.

## Baza mnogočestičnih Andersonovih lokaliziranih stanja

Hamiltonian (2) razdvajamo na Andersonov dio  $\hat{H}_A$  kojeg možemo egzaktno dijagonalizirati

$$\hat{H}_A = \sum_{I,s} \epsilon_I \varphi_{I,s}^\dagger \varphi_{I,s}, \quad (3)$$

gdje indeks  $I$  označava jednočestično Andersonovo lokalizirano stanje, te interakciju  $\hat{H}_I$  promatramo kao smetnju.

Bazu mnogočestičnih Andersonovih lokaliziranih stanja dobivamo popunjavanjem jednočestičnih Andersonovih lokaliziranih stanja pa se dobiva

$$|n\rangle = \prod_{I,s} \varphi_{I,s}^\dagger |0\rangle, \quad E_n^0 = \sum_{I,s} \epsilon_I n_{I,s}. \quad (4)$$

## Baza mnogočestičnih Andersonovih lokaliziranih stanja

Hamiltonian (2) razdvajamo na Andersonov dio  $\hat{H}_A$  kojeg možemo egzaktno dijagonalizirati

$$\hat{H}_A = \sum_{I,s} \epsilon_I \varphi_{I,s}^\dagger \varphi_{I,s}, \quad (3)$$

gdje indeks  $I$  označava jednočestično Andersonovo lokalizirano stanje, te interakciju  $\hat{H}_I$  promatramo kao smetnju.

Bazu mnogočestičnih Andersonovih lokaliziranih stanja dobivamo popunjavanjem jednočestičnih Andersonovih lokaliziranih stanja pa se dobiva

$$|n\rangle = \prod_{I,s} \varphi_{I,s}^\dagger |0\rangle, \quad E_n^0 = \sum_{I,s} \epsilon_I n_{I,s}. \quad (4)$$

Stanje  $|n\rangle$  opisuje lokalizirani sustav u kojem se svaki fermion nalazi u nekom jednočestičnom Andersonovom lokaliziranom stanju.

Uključivanjem interakcije  $\hat{H}_I$ , mnogočestična Andersonova lokalizirana stanja (4) više nisu svojstvena stanja hamiltonijana. Interakcija ih delokalizira, te je za opis sustava potrebno uzeti u obzir sva mnogočestična Andersonova lokalizirana stanja.

Uključivanjem interakcije  $\hat{H}_I$ , mnogočestična Andersonova lokalizirana stanja (4) više nisu svojstvena stanja hamiltonijana. Interakcija ih delokalizira, te je za opis sustava potrebno uzeti u obzir sva mnogočestična Andersonova lokalizirana stanja.

Međutim, u granici jakog nereda očekujemo kako će relevantni matrični elementi koji opisuju interakciju (raspršenje između jednočestičnih Andersonovih lokaliziranih stanja) biti prostorno jako lokalizirani  $\Rightarrow$  baza (4) prikladna za razdvajanje rezonantnih (relevantnih) doprinosa za konstrukciju reducirane baze.

## Baza mnogočestičnih Andersonovih lokaliziranih stanja

Uključivanjem interakcije  $\hat{H}_I$ , mnogočestična Andersonova lokalizirana stanja (4) više nisu svojstvena stanja hamiltonijana. Interakcija ih delokalizira, te je za opis sustava potrebno uzeti u obzir sva mnogočestična Andersonova lokalizirana stanja.

Međutim, u granici jakog nereda očekujemo kako će relevantni matrični elementi koji opisuju interakciju (raspršenje između jednočestičnih Andersonovih lokaliziranih stanja) biti prostorno jako lokalizirani  $\Rightarrow$  baza (4) prikladna za razdvajanje rezonantnih (relevantnih) doprinosa za konstrukciju reducirane baze.

$\implies$  Potrebno podrobnije pogledati strukturu hamiltonijana interakcije  $\hat{H}_I$ .

# Struktura interakcije $\hat{H}_I$ ; razdvajanje nabojsnih i spinskih stupnjeva slobode

U bazi jednočestičnih Andersonovih lokaliziranih stanja Hubbardova interakcija  $\hat{H}_I = U \sum_i \hat{n}_{i\uparrow} \hat{n}_{i\downarrow}$  glasi

$$\hat{H}_I = U \sum_{jklm,ss'} \chi_{jk}^{lm} \varphi_{l,s}^\dagger \varphi_{m,s'}^\dagger \varphi_{k,s'} \varphi_{j,s}, \quad (5)$$

te za matrične elemente vrijedi

$$\chi_{jk}^{lm} = (1 - \delta_{ss'}) \sum_i \phi_{l,i}^* \phi_{m,i}^* \phi_{k,i} \phi_{j,i}, \quad (6)$$

gdje  $\phi_{l,i}$  povezuju Andersonovu bazu i bazu zaposjednuća pojedinog čvora. Nadalje, koristeći fermionske antikomutacijske korelacije može se pokazati kako vrijedi

$$\chi_{jk}^{lm} = \chi_{kj}^{ml} = \left( \chi_{lm}^{jk} \right)^*, \quad \chi_{jk}^{lm} = 0 \quad \text{za } s = s'. \quad (7)$$

# Struktura interakcije $\hat{H}_I$ ; razdvajanje nabojsnih i spinskih stupnjeva slobode

Hubbardov hamiltonijan (5) razdvajamo na četiri doprinosa koji se međusobno razlikuju po broju jednakih indeksa  $j, k, l$  i  $m$ .

# Struktura interakcije $\hat{H}_I$ ; razdvajanje nabojsnih i spinskih stupnjeva slobode

Hubbardov hamiltonijan (5) razdvajamo na četiri doprinosa koji se međusobno razlikuju po broju jednakih indeksa  $j, k, l$  i  $m$ .

- sva četiri indeksa jednaka:

$$\hat{H}_I^1 = 2U \sum_j \chi_{jj}^{jj} \hat{n}_{j,\uparrow} \hat{n}_{j,\downarrow} \quad (8)$$

# Struktura interakcije $\hat{H}_I$ ; razdvajanje nabojsnih i spinskih stupnjeva slobode

Hubbardov hamiltonijan (5) razdvajamo na četiri doprinosa koji se međusobno razlikuju po broju jednakih indeksa  $j, k, l$  i  $m$ .

- sva četiri indeksa jednaka:

$$\hat{H}_I^1 = 2U \sum_j \chi_{jj}^{jj} \hat{n}_{j,\uparrow} \hat{n}_{j,\downarrow} \quad (8)$$

- dva indeksa različita:

$$\hat{H}_I^2 = 2U \sum_{j \neq k} \left[ \chi_{jk}^{jk} \hat{n}_{j,\uparrow} \hat{n}_{k,\downarrow} + \chi_{jk}^{kj} \varphi_{k,\uparrow}^\dagger \varphi_{j,\downarrow}^\dagger \varphi_{k,\downarrow} \varphi_{j,\uparrow} \right] \quad (9)$$

# Struktura interakcije $\hat{H}_I$ ; razdvajanje nabojsnih i spinskih stupnjeva slobode

- tri indeksa različita:

$$\begin{aligned}\hat{H}_I^3 = 2U \sum_{j \neq k \neq m} & \left[ \chi_{jk}^{jm} \left( \varphi_{m,\downarrow}^\dagger \varphi_{k,\downarrow} \hat{n}_{j,\uparrow} + \varphi_{m,\uparrow}^\dagger \varphi_{k,\uparrow} \hat{n}_{j,\downarrow} \right) + \right. \\ & \left. + \chi_{jk}^{mj} \left( \varphi_{m,\downarrow}^\dagger \varphi_{j,\uparrow}^\dagger \varphi_{k,\uparrow} \varphi_{j,\downarrow} + \varphi_{m,\uparrow}^\dagger \varphi_{j,\downarrow}^\dagger \varphi_{k,\downarrow} \varphi_{j,\uparrow} \right) \right]\end{aligned}\quad (10)$$

# Struktura interakcije $\hat{H}_I$ ; razdvajanje nabojsnih i spinskih stupnjeva slobode

- tri indeksa različita:

$$\begin{aligned}\hat{H}_I^3 = 2U \sum_{j \neq k \neq m} & \left[ \chi_{jk}^{jm} \left( \varphi_{m,\downarrow}^\dagger \varphi_{k,\downarrow} \hat{n}_{j,\uparrow} + \varphi_{m,\uparrow}^\dagger \varphi_{k,\uparrow} \hat{n}_{j,\downarrow} \right) + \right. \\ & \left. + \chi_{jk}^{mj} \left( \varphi_{m,\downarrow}^\dagger \varphi_{j,\uparrow}^\dagger \varphi_{k,\uparrow} \varphi_{j,\downarrow} + \varphi_{m,\uparrow}^\dagger \varphi_{j,\downarrow}^\dagger \varphi_{k,\downarrow} \varphi_{j,\uparrow} \right) \right]\end{aligned}\quad (10)$$

- sva četiri indeksa različita:

$$\begin{aligned}H_I^4 = 2U \sum_{\substack{j \neq k \neq l \neq m \\ l > m, k > j}} & \left[ \chi_{jk}^{lm} \left( \varphi_{l,\uparrow}^\dagger \varphi_{m,\downarrow}^\dagger \varphi_{k,\downarrow} \varphi_{j,\uparrow} + \varphi_{l,\downarrow}^\dagger \varphi_{m,\uparrow}^\dagger \varphi_{k,\uparrow} \varphi_{j,\downarrow} \right) \right. \\ & \left. - \chi_{kj}^{lm} \left( \varphi_{l,\uparrow}^\dagger \varphi_{m,\downarrow}^\dagger \varphi_{k,\uparrow} \varphi_{j,\downarrow} + \varphi_{l,\downarrow}^\dagger \varphi_{m,\uparrow}^\dagger \varphi_{k,\downarrow} \varphi_{j,\uparrow} \right) \right]\end{aligned}\quad (11)$$

# Struktura interakcije $\hat{H}_I$ ; razdvajanje nabojskih i spinskih stupnjeva slobode

- tri indeksa različita:

$$\begin{aligned}\hat{H}_I^3 = 2U \sum_{j \neq k \neq m} & \left[ \chi_{jk}^{jm} \left( \varphi_{m,\downarrow}^\dagger \varphi_{k,\downarrow} \hat{n}_{j,\uparrow} + \varphi_{m,\uparrow}^\dagger \varphi_{k,\uparrow} \hat{n}_{j,\downarrow} \right) + \right. \\ & \left. + \chi_{jk}^{mj} \left( \varphi_{m,\downarrow}^\dagger \varphi_{j,\uparrow}^\dagger \varphi_{k,\uparrow} \varphi_{j,\downarrow} + \varphi_{m,\uparrow}^\dagger \varphi_{j,\downarrow}^\dagger \varphi_{k,\downarrow} \varphi_{j,\uparrow} \right) \right]\end{aligned}\quad (10)$$

- sva četiri indeksa različita:

$$\begin{aligned}H_I^4 = 2U \sum_{\substack{j \neq k \neq l \neq m \\ l > m, k > j}} & \left[ \chi_{jk}^{lm} \left( \varphi_{l,\uparrow}^\dagger \varphi_{m,\downarrow}^\dagger \varphi_{k,\downarrow} \varphi_{j,\uparrow} + \varphi_{l,\downarrow}^\dagger \varphi_{m,\uparrow}^\dagger \varphi_{k,\uparrow} \varphi_{j,\downarrow} \right) \right. \\ & \left. - \chi_{kj}^{lm} \left( \varphi_{l,\uparrow}^\dagger \varphi_{m,\downarrow}^\dagger \varphi_{k,\uparrow} \varphi_{j,\downarrow} + \varphi_{l,\downarrow}^\dagger \varphi_{m,\uparrow}^\dagger \varphi_{k,\downarrow} \varphi_{j,\uparrow} \right) \right]\end{aligned}\quad (11)$$

Ovako postavljen problem izuzetno je složen te ćemo se prebaciti na model u kojem fermioni nose samo naboj, a ne i spin.

## Struktura interakcije $\hat{H}_I$ ; razdvajanje nabojskih i spinskih stupnjeva slobode

Hubbardovu interakciju zamjenjujemo interakcijom naboja susjednih čvorova  $\hat{H}_I = V \sum_i \hat{n}_i \hat{n}_{i+1}$  pa za dijelove hamiltonijana interakcije imamo:

## Struktura interakcije $\hat{H}_I$ ; razdvajanje nabojskih i spinskih stupnjeva slobode

Hubbardovu interakciju zamjenjujemo interakcijom naboja susjednih čvorova  $\hat{H}_I = V \sum_i \hat{n}_i \hat{n}_{i+1}$  pa za dijelove hamiltonijana interakcije imamo:

- 

$$\hat{H}_I^2 = 2V \sum_{k>j} \left( \chi_{jk}^{jk} - \chi_{jk}^{kj} \right) \hat{n}_j \hat{n}_k, \quad (12)$$

te ovaj član predstavlja Hartree-Fock korekciju energije mnogočestičnog Andersonovog lokaliziranog stanja  $|n\rangle$ ,

$$\tilde{E}_n^0 = E_n^0 + \langle n | \hat{H}_I^2 | n \rangle, \quad (13)$$

## Struktura interakcije $\hat{H}_I$ ; razdvajanje nabojskih i spinskih stupnjeva slobode

Hubbardovu interakciju zamjenjujemo interakcijom naboja susjednih čvorova  $\hat{H}_I = V \sum_i \hat{n}_i \hat{n}_{i+1}$  pa za dijelove hamiltonijana interakcije imamo:



$$\hat{H}_I^2 = 2V \sum_{k>j} \left( \chi_{jk}^{jk} - \chi_{jk}^{kj} \right) \hat{n}_j \hat{n}_k, \quad (12)$$

te ovaj član predstavlja Hartree-Fock korekciju energije mnogočestičnog Andersonovog lokaliziranog stanja  $|n\rangle$ ,

$$\tilde{E}_n^0 = E_n^0 + \langle n | \hat{H}_I^2 | n \rangle, \quad (13)$$



$$\hat{H}_I^3 = 2V \sum_{j \neq k \neq m} \left( \chi_{jk}^{jm} - \chi_{jk}^{mj} \right) \hat{n}_j \varphi_m^\dagger \varphi_k, \quad (14)$$

# Struktura interakcije $\hat{H}_I$ ; razdvajanje nabojskih i spinskih stupnjeva slobode

Hubbardovu interakciju zamjenjujemo interakcijom naboja susjednih čvorova  $\hat{H}_I = V \sum_i \hat{n}_i \hat{n}_{i+1}$  pa za dijelove hamiltonijana interakcije imamo:



$$\hat{H}_I^2 = 2V \sum_{k>j} \left( \chi_{jk}^{jk} - \chi_{jk}^{kj} \right) \hat{n}_j \hat{n}_k, \quad (12)$$

te ovaj član predstavlja Hartree-Fock korekciju energije mnogočestičnog Andersonovog lokaliziranog stanja  $|n\rangle$ ,

$$\tilde{E}_n^0 = E_n^0 + \langle n | \hat{H}_I^2 | n \rangle, \quad (13)$$



$$\hat{H}_I^3 = 2V \sum_{j \neq k \neq m} \left( \chi_{jk}^{jm} - \chi_{jk}^{mj} \right) \hat{n}_j \varphi_m^\dagger \varphi_k, \quad (14)$$



$$\hat{H}_I^4 = 2V \sum_{\substack{j > k \\ m > l \\ j \neq m \neq k \neq l}} \left( \chi_{jk}^{lm} - \chi_{jk}^{ml} \right) \varphi_l^\dagger \varphi_m^\dagger \varphi_k \varphi_j. \quad (15)$$

## Konstrukcija reducirane baze

Reduciranu bazu konstruiramo iterativno kroz  $G$  generacija počevši od stanja  $|n\rangle$  kao jedinog stanja u nultoj, početnoj generaciji. Svaku generaciju dobivamo djelovanjem Hamiltonijana  $\hat{H}_I^3$  i  $\hat{H}_I^4$  na sva stanja prethodne generacije  $G - 1$ , te zadržavamo samo stanja koja zadovoljavaju rezonantni uvjet  $\left| \frac{\langle n^{G-1} | \hat{H}_I^{3,4} | m^G \rangle}{\tilde{E}_0^0 - \tilde{E}_m^G} \right| > R$ .

## Konstrukcija reducirane baze

Reduciranu bazu konstruiramo iterativno kroz  $G$  generacija počevši od stanja  $|n\rangle$  kao jedinog stanja u nultoj, početnoj generaciji. Svaku generaciju dobivamo djelovanjem Hamiltonijana  $\hat{H}_I^3$  i  $\hat{H}_I^4$  na sva stanja prethodne generacije  $G - 1$ , te zadržavamo samo stanja koja zadovoljavaju rezonantni uvjet  $\left| \frac{\langle n^{G-1} | \hat{H}_I^{3,4} | m^G \rangle}{\tilde{E}_0^0 - \tilde{E}_m^G} \right| > R$ .

Kompletna reducirana baza je stoga  $|\bar{n}\rangle = \{|n\rangle, |n^1\rangle, \dots, |n^G\rangle\}$  te unutar tako konstruirane baze možemo egzaktно dijagonalizirati hamiltonijan sustava te dobiti odgovarajuća svojstvena stanja  $|\tilde{m}\rangle$  i svojstvene energije  $E_{\tilde{m}}$  kao aproksimaciju egzaktnih.

# Konstrukcija reducirane baze

Reduciranu bazu konstruiramo iterativno kroz  $G$  generacija počevši od stanja  $|n\rangle$  kao jedinog stanja u nultoj, početnoj generaciji. Svaku generaciju dobivamo djelovanjem Hamiltonijana  $\hat{H}_I^3$  i  $\hat{H}_I^4$  na sva stanja prethodne generacije  $G - 1$ , te zadržavamo samo stanja koja zadovoljavaju rezonantni uvjet  $\left| \frac{\langle n^{G-1} | \hat{H}_I^{3,4} | m^G \rangle}{\tilde{E}_0^0 - \tilde{E}_m^G} \right| > R$ .

Kompletna reducirana baza je stoga  $|\bar{n}\rangle = \{|n\rangle, |n^1\rangle, \dots, |n^G\rangle\}$  te unutar tako konstruirane baze možemo egzaktно dijagonalizirati hamiltonijan sustava te dobiti odgovarajuća svojstvena stanja  $|\tilde{m}\rangle$  i svojstvene energije  $E_{\tilde{m}}$  kao aproksimaciju egzaktnih.

Mijenjanjem parametra  $R$  možemo kontrolirati broj stanja po generaciji  $\Rightarrow$  izdvajanjem relevantnih stanja  $N_{st}$  za dinamiku sustava na drugim vremenima mogli bismo proučavati sustave s većim ( $L > 16$ ) brojem čvorova!

# Korelacijske funkcije

Mnogočestična lokalizacija karakterizirana je neiščezavanjem korelacijskih funkcija na dugim vremenima  $\Rightarrow$  od interesa je promatrati relacije

$$\langle \hat{A}(t' + t) \hat{B}(t') \rangle = \frac{1}{N_{tot}} \text{Tr} [\hat{A}(t' + t) \hat{B}(t')] . \quad (16)$$

# Korelacijske funkcije

Mnogočestična lokalizacija karakterizirana je neiščezavanjem korelacijskih funkcija na dugim vremenima  $\Rightarrow$  od interesa je promatrati relacije

$$\langle \hat{A}(t' + t) \hat{B}(t') \rangle = \frac{1}{N_{tot}} \text{Tr} [\hat{A}(t' + t) \hat{B}(t')] . \quad (16)$$

U granici beskonačne temperature i aproksimaciji reducirane baze prethodna relacija se svodi na

$$\langle \hat{A}(t' + t) \hat{B}(t') \rangle \simeq \frac{1}{N_{st}} \sum_{n=1}^{N_{st}} \langle n | \hat{A}(t' + t) \hat{B}(t') | n \rangle . \quad (17)$$

# Korelacijske funkcije

Zapravo nas zanima dugovremensko ponašanje  $t \rightarrow \infty$  pa se mogu promatrati vremenska usrednjenja bez eksplicitne ovisnosti o početnom trenutku

$$\begin{aligned} C_{AB}(t) &= \lim_{\tau \rightarrow \infty} \frac{1}{\tau} \int_0^\tau dt' \frac{1}{N_{st}} \sum_{n=1}^{N_{st}} \langle n | \hat{A}(t' + t) \hat{B}(t') | n \rangle \\ &= \lim_{\tau \rightarrow \infty} \frac{1}{\tau} \int_0^\tau dt' \frac{1}{N_{st}} \sum_{\substack{n=1 \\ \tilde{m}\tilde{l}\tilde{p}}}^{N_{st}} \langle n | \tilde{m} \rangle A_{\tilde{m}\tilde{l}} B_{\tilde{l}\tilde{p}} \langle \tilde{p} | n \rangle e^{i[E_{\tilde{m}}(t+t') - E_{\tilde{l}}t - E_{\tilde{p}}t']} \\ &= \frac{1}{N_{st}} \sum_{\substack{n=1 \\ \tilde{m}\tilde{l}}}^{N_{st}} |\langle n | \tilde{m} \rangle|^2 A_{\tilde{m}\tilde{l}} B_{\tilde{l}\tilde{m}} e^{i(E_{\tilde{m}} - E_{\tilde{l}})t}. \end{aligned} \quad (18)$$

# Korelacijske funkcije

Konačno, zanima nas korelacijska funkcija za duga vremena pa možemo opet promatrati samo vremenski prosjek, odnosno

$$\begin{aligned} D_{AB} &= \lim_{\tau \rightarrow \infty} \frac{1}{\tau} \int_0^\tau dt C_{AB}(t) \\ &= \frac{1}{N_{st}} \sum_{n, \tilde{m}} |\langle n | \tilde{m} \rangle|^2 A_{\tilde{m} \tilde{m}} B_{\tilde{m} \tilde{m}}, \end{aligned} \tag{19}$$

što se u slučaju uprosječavanja po svim početnim stanjima sustava  $|n\rangle$  svodi na

$$D_{AB} = \frac{1}{N_{tot}} \sum_{\tilde{m}} A_{\tilde{m} \tilde{m}} B_{\tilde{m} \tilde{m}}. \tag{20}$$

# Korelacijske funkcije

Konačno, zanima nas korelacijska funkcija za duga vremena pa možemo opet promatrati samo vremenski prosjek, odnosno

$$\begin{aligned} D_{AB} &= \lim_{\tau \rightarrow \infty} \frac{1}{\tau} \int_0^\tau dt C_{AB}(t) \\ &= \frac{1}{N_{st}} \sum_{n,\tilde{m}} |\langle n | \tilde{m} \rangle|^2 A_{\tilde{m}\tilde{m}} B_{\tilde{m}\tilde{m}}, \end{aligned} \tag{19}$$

što se u slučaju uprosječavanja po svim početnim stanjima sustava  $|n\rangle$  svodi na

$$D_{AB} = \frac{1}{N_{tot}} \sum_{\tilde{m}} A_{\tilde{m}\tilde{m}} B_{\tilde{m}\tilde{m}}. \tag{20}$$

Doprinosi za dugovremensko ponašanje ovise izravno o preklopu s početnim stanjem  $|n\rangle \Rightarrow$  aproksimacija reducirane baze trebala bi davati dobru aproksimaciju dugovremenskog ponašanja korelacijskih funkcija!

# Korelacijska funkcija gustoće

Konkretno, promatrati ćemo dugovremensku korelacijsku funkciju naboje gustoće na pojedinom čvoru rešetke  $i$

$$D_i = \frac{1}{N_{st}} \sum_{n,\tilde{m}} |\langle n | \tilde{m} \rangle|^2 [(\delta \hat{n}_i)_{\tilde{m}\tilde{m}}]^2, \quad (21)$$

gdje je  $\delta \hat{n}_i = \hat{n}_i / \bar{n} - 1$  operator fluktuacije gustoće.

# Korelacijska funkcija gustoće

Konkretno, promatrati ćemo dugovremensku korelacijsku funkciju naboje gustoće na pojedinom čvoru rešetke  $i$

$$D_i = \frac{1}{N_{st}} \sum_{n,\tilde{m}} |\langle n | \tilde{m} \rangle|^2 [(\delta \hat{n}_i)_{\tilde{m}\tilde{m}}]^2, \quad (21)$$

gdje je  $\delta \hat{n}_i = \hat{n}_i / \bar{n} - 1$  operator fluktuacije gustoće.

- ergodična faza: za duga vremena jednaka gustoća naboja na svim čvorovima  $n_i = \bar{n} \Rightarrow$  korelacijska funkcija  $D_i$  iščezava

# Korelacijska funkcija gustoće

Konkretno, promatrati ćemo dugovremensku korelacijsku funkciju naboje gustoće na pojedinom čvoru rešetke  $i$

$$D_i = \frac{1}{N_{st}} \sum_{n,\tilde{m}} |\langle n | \tilde{m} \rangle|^2 [(\delta \hat{n}_i)_{\tilde{m}\tilde{m}}]^2, \quad (21)$$

gdje je  $\delta \hat{n}_i = \hat{n}_i / \bar{n} - 1$  operator fluktuacije gustoće.

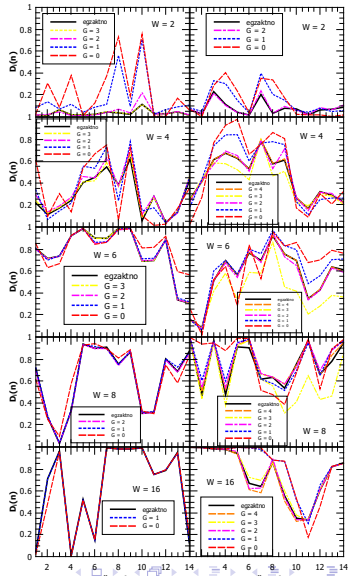
- ergodična faza: za duga vremena jednaka gustoća naboja na svim čvorovima  $n_i = \bar{n} \Rightarrow$  korelacijska funkcija  $D_i$  iščezava
- lokalizirana faza: za duga vremena naboj lokaliziran na pojedinim čvorovima  $n_i = 0, 1 \Rightarrow$  korelacijska funkcija  $D_i$  poprima konačnu vrijednost

# Rezultati

- računate su korelacijske funkcije gustoće bez usrednjavanja po početnim stanjima

$$D_i(n) = \sum_{\tilde{m}} |\langle n | \tilde{m} \rangle|^2 [(\delta n_i)_{\tilde{m}\tilde{m}}]^2, \quad (22)$$

za sustave s  $L = 14$  čvorova i  $t = V = 1$



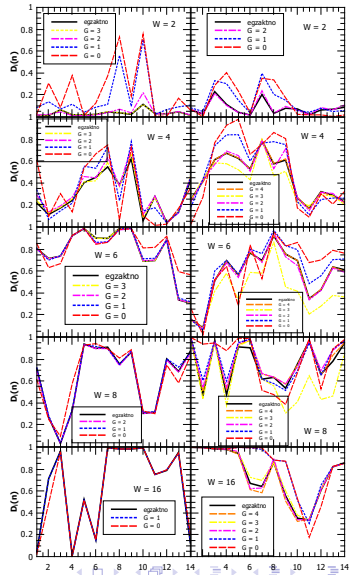
# Rezultati

- računate su korelacijske funkcije gustoće bez usrednjavanja po početnim stanjima

$$D_i(n) = \sum_{\tilde{m}} |\langle n | \tilde{m} \rangle|^2 [(\delta n_i)_{\tilde{m}\tilde{m}}]^2, \quad (22)$$

za sustave s  $L = 14$  čvorova i  $t = V = 1$

- za  $W = 2$  prosječna vrijednost korelacijske funkcije iščezava  $\Rightarrow$  ergodično ponašanje



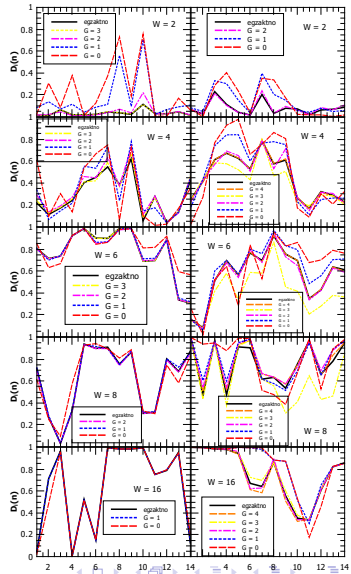
# Rezultati

- računate su korelacijske funkcije gustoće bez usrednjavanja po početnim stanjima

$$D_i(n) = \sum_{\tilde{m}} |\langle n | \tilde{m} \rangle|^2 [(\delta n_i)_{\tilde{m}\tilde{m}}]^2, \quad (22)$$

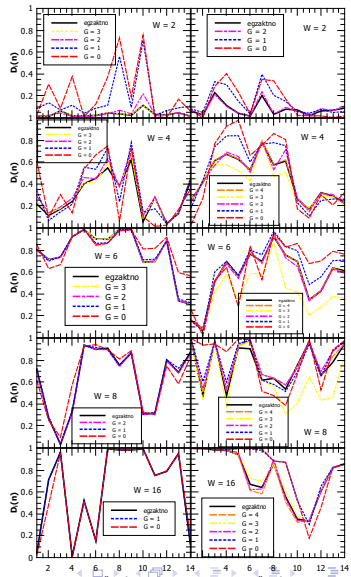
za sustave s  $L = 14$  čvorova i  $t = V = 1$

- za  $W = 2$  prosječna vrijednost korelacijske funkcije iščezava  $\Rightarrow$  ergodično ponašanje
- za  $W \geq 6$  postoje dijeli sustava s ergodičnim  $D_i(n) \approx 0$  i dijelovi sustava s neergodičnim ponašanjem  $D_i(n) \approx 1$



# Rezultati

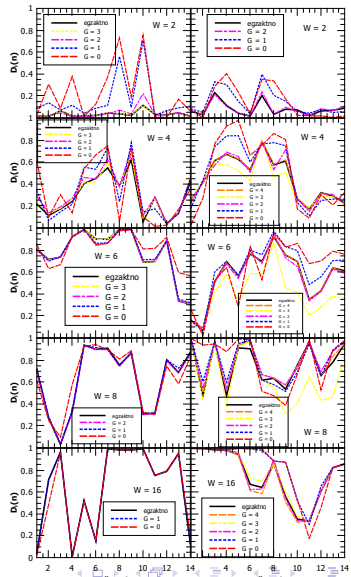
Lijevi stupac prikazuje primjere tipičnog ponašanja korelacijske funkcije kroz generacije.



# Rezultati

Lijevi stupac prikazuje primjere tipičnog ponašanja korelacijske funkcije kroz generacije.

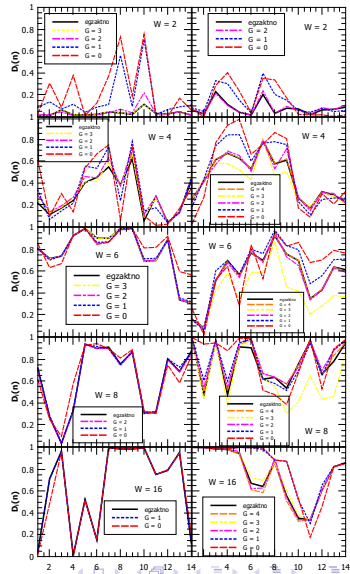
- u trećoj generaciji izvrsno slaganje s egzaktnim rezultatima



# Rezultati

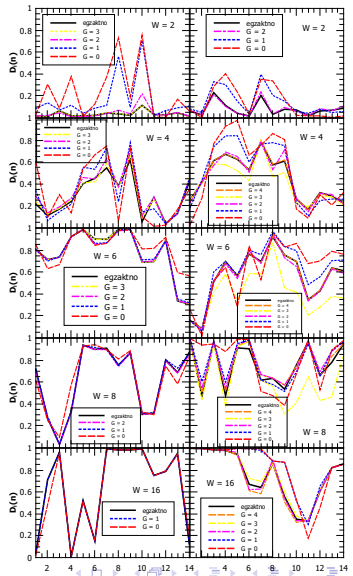
Lijevi stupac prikazuje primjere tipičnog ponašanja korelacijske funkcije kroz generacije.

- u trećoj generaciji izvrsno slaganje s egzaktnim rezultatima
- za jake nerede ( $W \geq 8$ ) već nulta generacija daje jako dobre rezultate  $\Rightarrow$  jako mali broj stanja potreban za opis sustava  $\Rightarrow$  neergodična dinamika



# Rezultati

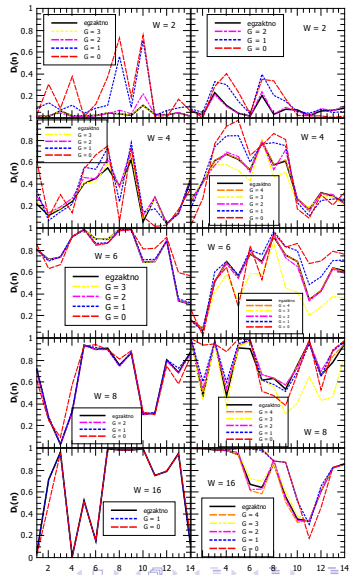
Desni stupac (za nerede  $W > 2$ ) prikazuje dva tipa netipičnog ponašanja korelacijske funkcije kroz generacije.



# Rezultati

Desni stupac (za nerede  $W > 2$ ) prikazuje dva tipa netipičnog ponašanja korelacijske funkcije kroz generacije.

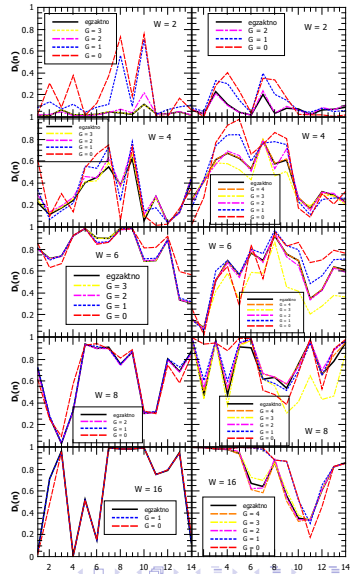
- prvi tip karakterizira veliko odstupanje u jednoj generaciji, na slici treća generacija za nerede  $W = 4 - 8$



# Rezultati

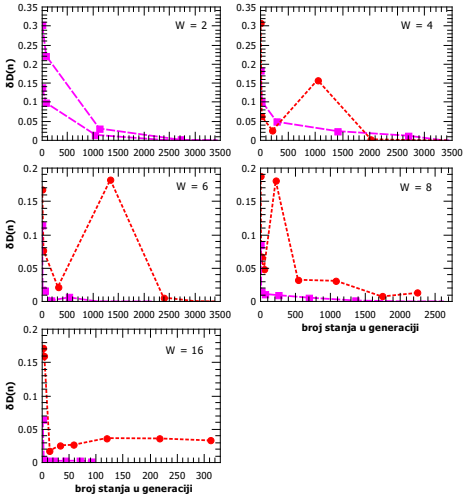
Desni stupac (za nerede  $W > 2$ ) prikazuje dva tipa netipičnog ponašanja korelacijske funkcije kroz generacije.

- prvi tip karakterizira veliko odstupanje u jednoj generaciji, na slici treća generacija za nerede  $W = 4 - 8$
- za drugi tip je specifično da korelacijska funkcija na pojedinim čvorovima iskazuje odstupanja i za veće  $G$ , na slici slučaj  $W = 16$



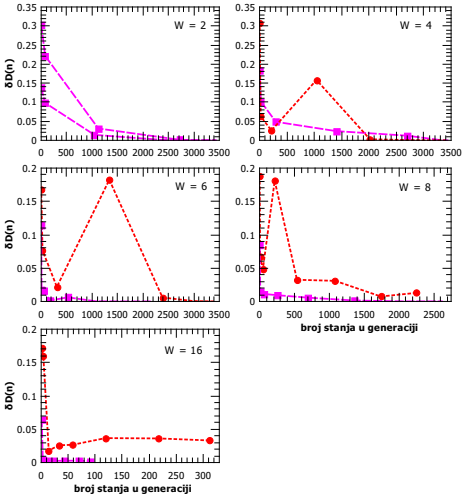
# Rezultati

- za male nerede broj stanja raste razmjerno brzo s generacijama  
⇒ ergodično ponašanje sustava



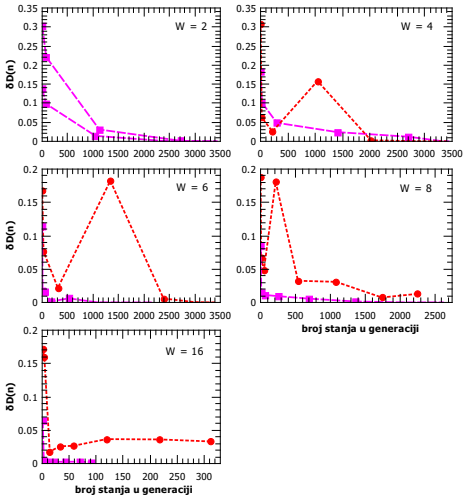
# Rezultati

- za male nerede broj stanja raste razmjerno brzo s generacijama  
⇒ ergodično ponašanje sustava
- za velike nerede broj relevantnih stanja relativno mali ⇒ neergodično ponašanje sustava



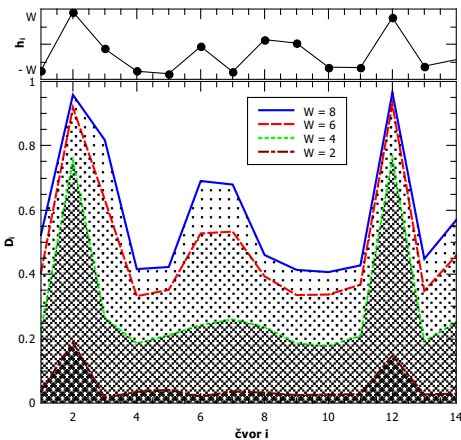
# Rezultati

- za male nerede broj stanja raste razmjerno brzo s generacijama  $\Rightarrow$  ergodično ponašanje sustava
- za velike nerede broj relevantnih stanja relativno mali  $\Rightarrow$  neergodično ponašanje sustava
- netična ponašanja nisu vezana za nikakva kvalitativna odstupanja, aproksimacija jednostavno ne uspijeva odrediti fini međuodnos između jednog do dva relevantna stanja



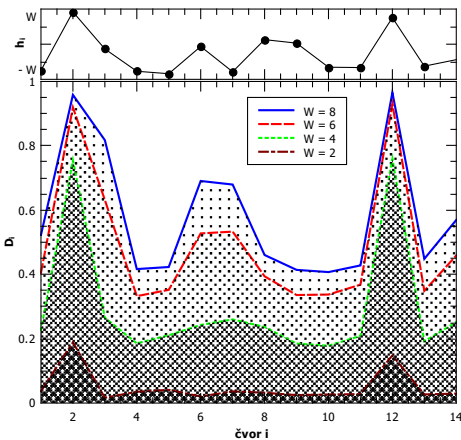
# Rezultati

- postoji jasna prostorno ovisna veza između konfiguracije nereda  $h_i$  i vrijednosti korelacijske funkcije nakon potpunog uprosječavanja  $D_i$  (20)  $\Rightarrow$  ponašanje kao kod staklastih stanja



# Rezultati

- postoji jasna prostorno ovisna veza između konfiguracije nereda  $h_i$  i vrijednosti korelacijske funkcije nakon potpunog uprosječavanja  $D_i$  (20)  $\Rightarrow$  ponašanje kao kod staklastih stanja
- izgleda kao da se korelacijska funkcija  $D_i$  skalira s jačinom nereda  $W \Rightarrow$  kontinuirani prijelaz iz neergodične u lokaliziranu fazu



# Zaključak

- opisana je aproksimacija reducirane baze u kontekstu računanja dugovremenskih korelacijskih funkcija u modelu mnogočestične lokalizacije te su numeričkim računom dobivene neke karakteristike ergodične i neergodične faze

# Zaključak

- opisana je aproksimacija reducirane baze u kontekstu računanja dugovremenskih korelacijskih funkcija u modelu mnogočestične lokalizacije te su numeričkim računom dobivene neke karakteristike ergodične i neergodične faze
  - za mali nered u ergodičnoj fazi prosječna vrijednost korelacijske funkcije gustoće iščezava

# Zaključak

- opisana je aproksimacija reducirane baze u kontekstu računanja dugovremenskih koreacijskih funkcija u modelu mnogočestične lokalizacije te su numeričkim računom dobivene neke karakteristike ergodične i neergodične faze
  - za mali nered u ergodičnoj fazi prosječna vrijednost koreacijske funkcije gustoće iščezava
  - u slučaju jakih nereda koreacijska funkcija pokazuje jaku prostornu ovisnost koreliranu s konkretnom konfiguracijom nereda ⇒ postoje dijelovi sustava s ergodičnim i neergodičnim ponašanjem korelacija

- opisana je aproksimacija reducirane baze u kontekstu računanja dugovremenskih koreacijskih funkcija u modelu mnogočestične lokalizacije te su numeričkim računom dobivene neke karakteristike ergodične i neergodične faze
  - za mali nered u ergodičnoj fazi prosječna vrijednost koreacijske funkcije gustoće iščezava
  - u slučaju jakih nereda koreacijska funkcija pokazuje jaku prostornu ovisnost koreliranu s konkretnom konfiguracijom nereda  $\Rightarrow$  postoje dijelovi sustava s ergodičnim i neergodičnim ponašanjem korelacija
  - koreacijska funkcija izravno prati svojstva prostorne raspodjele nereda  $\Rightarrow$  konzistentno sa staklastim stanje

# Zaključak

- opisana je aproksimacija reducirane baze u kontekstu računanja dugovremenskih koreacijskih funkcija u modelu mnogočestične lokalizacije te su numeričkim računom dobivene neke karakteristike ergodične i neergodične faze
  - za mali nered u ergodičnoj fazi prosječna vrijednost koreacijske funkcije gustoće iščezava
  - u slučaju jakih nereda koreacijska funkcija pokazuje jaku prostornu ovisnost koreliranu s konkretnom konfiguracijom nereda ⇒ postoje dijelovi sustava s ergodičnim i neergodičnim ponašanjem korelacija
  - koreacijska funkcija izravno prati svojstva prostorne raspodjele nereda ⇒ konzistentno sa staklastim stanje
  - prijelaz između ergodične i lokalizirane faze kontinuiran

# Zaključak

- u većini slučajeva dolazi do brze konvergencije rezultata po generacijama egzaktnim vrijednostima  $\Rightarrow$  već s malim brojem generacija možemo obuhvatiti svu relevantnu fiziku za proučavanje dinamike sustava na dugim vremenskim skalamama

# Zaključak

- u većini slučajeva dolazi do brze konvergencije rezultata po generacijama egzaktnim vrijednostima  $\Rightarrow$  već s malim brojem generacija možemo obuhvatiti svu relevantnu fiziku za proučavanje dinamike sustava na dugim vremenskim skalamama
- aproksimacija izrazito efikasna u lokaliziranoj fazi  $\Rightarrow$  mogućnost proučavanja lokalizirane faze na sustavima velikih dimenzija i sigurniju raspravu o ponašanju sustava s jakim neredom u termodinamičkoj granici  $L \rightarrow \infty$